

2N2907

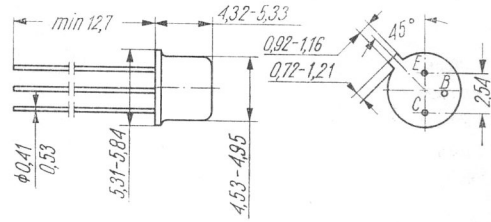
Typ tranzystora: tranzystor krzemowy

Firma: SESCOSEM

Wykonanie: tranzystor krzemowy epitaksjalno-planarny *p-n-p* w obudowie metalowej TO-18, kolektor połączony z obudową, ciężar około 0,5 G

Zastosowanie: wzmacniacze m.cz. i w.cz., układy przełączające dla średnich prądów, komplementarny do tranzystora 2N2222 (2N2222A)

Typy podobne: BCW 76—16 (Sie)



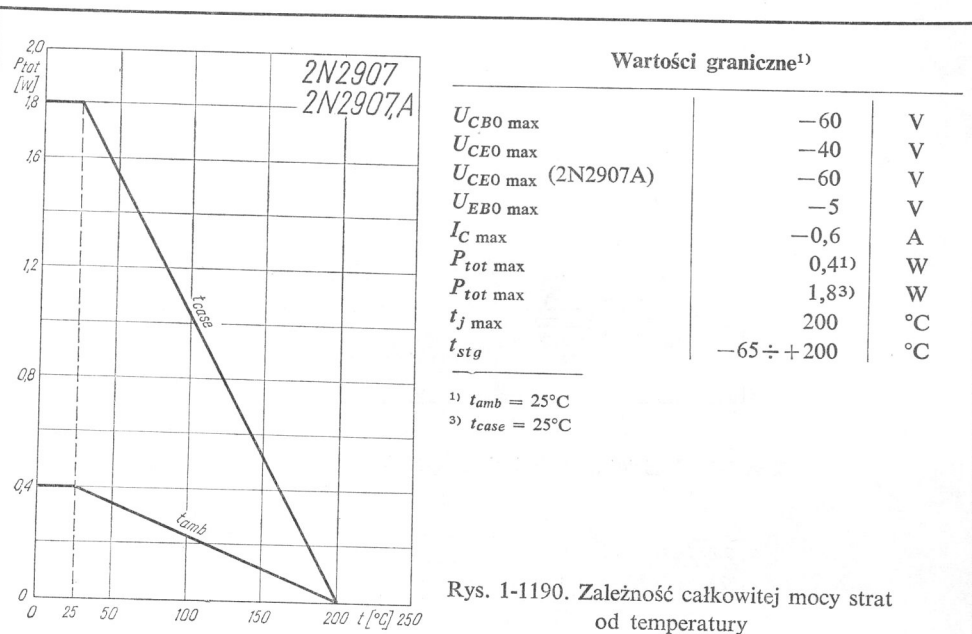
Rys. 1-1189. 2N2907

Wartości charakterystyczne¹⁾

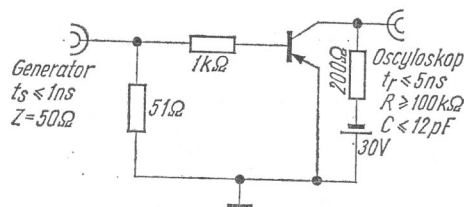
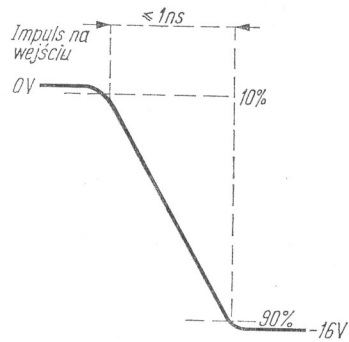
	min	max		
I_{CB0}		-20	nA	przy $I_E = 0$, $U_{CB} = -50$ V
I_{CB0} (2N2907A)		-10	nA	
I_{CB0}		-20	μ A	przy $I_E = 0$, $U_{CB} = -50$ V, $t_{amb} = 150^\circ\text{C}$
I_{CB0} (2N2907A)		-10	μ A	
I_{CEX}		-50	nA	przy $U_{BE} = 0,5$ V, $U_{CE} = -30$ V
$U_{(BR)CB0}$	-60		V	przy $I_E = 0$, $I_C = -10$ μ A
$U_{(BR)CE0^{(2)}}$	-40		V	
$U_{(BR)CE0^{(2)}}$ (2N2907A)	-60		V	przy $I_B = 0$, $I_C = -10$ mA
$U_{(BR)EBO}$	-5		V	przy $I_C = 0$, $I_E = -10$ μ A
h_{21E}	35			przy $I_C = -0,1$ mA, $U_{CE} = -10$ V
h_{21E}	50			przy $I_C = -1$ mA, $U_{CE} = -10$ V
h_{21E}	75			przy $I_C = -10$ mA, $U_{CE} = -10$ V
$h_{21E^{(2)}}$	100	300		przy $I_C = -150$ mA, $U_{CE} = -10$ V
$h_{21E^{(2)}}$	30			przy $I_C = -500$ mA, $U_{CE} = -10$ V
$U_{CEsat^{(2)}}$		-0,4	V	przy $I_C = -150$ mA, $I_B = -15$ mA
$U_{CEsat^{(2)}}$		-1,6	V	przy $I_C = 500$ mA, $I_B = -50$ mA
$U_{BEsat^{(2)}}$		-1,3	V	przy $I_C = -150$ mA, $I_B = -15$ mA
$U_{BEsat^{(2)}}$		-2,6	V	przy $I_C = 500$ mA, $I_B = -50$ mA
f_T	200		MHz	przy $I_C = -50$ mA, $U_{CE} = -20$ V, $f = 100$ MHz
C_{22b}		8	pF	przy $U_{CB} = -10$ V, $I_E = 0$, $f = 100$ MHz
C_{11b}		30	pF	przy $U_{EB} = -2$ V, $I_C = 0$, $f = 100$ MHz
t_{ON}		45	ns	przy $I_C \approx -150$ mA, $I_B \approx -15$ mA
t_{OFF}		200	ns	przy $I_C \approx -150$ mA, $I_{B1} \approx -15$ mA, $I_{B2} \approx +15$ mA

¹⁾ $t_{amb} = 25^\circ\text{C}$

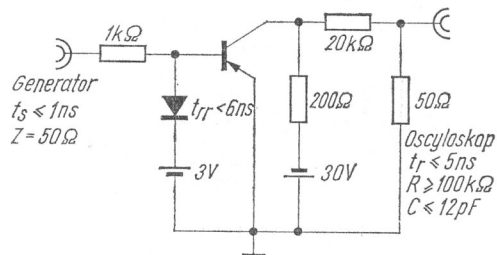
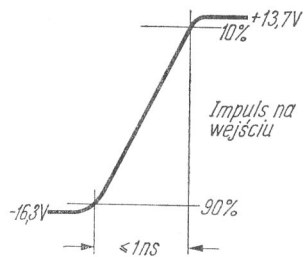
²⁾ pomiar impulsem $t_p = 300$ μ s, $\delta \leq 2\%$



Rys. 1-1190. Zależność całkowitej mocy strat od temperatury



Rys. 1-1191. Układ pomiarowy czasów włączania



Rys. 1-1192. Układ pomiarowy czasów wyłączenia

